

T2K 実験  
電子ニュートリノ出現現象解析

西村 康宏

東京大学宇宙線研究所(神岡)



2012/2/22 (Wed)

- T2K (Tokai-to-Kamioka) 長期線ニュートリノ振動実験
- J-PARCからSuper-Kamiokande(SK)までの  
295kmで $\nu_\mu$ からの振動を測定
- 目的
  - $\nu_\mu$ 消失現象の詳細測定
  - $\theta_{13}$ 測定( $\nu e$ 出現事象発見) ← 今回のお話
  - CPの破れ( $\delta$ )探索
- 2011年3月までのデータ(目標の2%量)を使用
- 主に後置検出器(Super-Kamiokande)での解析

- $\theta_{13}$ を測る方法
  - $\nu_e$ 消失: 原子炉 $\nu_e$ を数km先(/~MeV)で測る
    - Double CHOOZ, Daya Bay, RENO
$$P(\nu_e \rightarrow \nu_e) \cong 1 - \sin^2 2\theta_{13} \sin^2 \left( \frac{\Delta m_{31}^2}{4E(\text{GeV})} L(\text{km}) \right)$$
  - $\nu_e$ 出現: 加速器 $\nu_\mu$ からの長基線(数百km/~GeV)
    - T2K, MINOS, NOvA
$$P(\nu_\mu \rightarrow \nu_e) \cong \sin^2 2\theta_{13} \sin^2 \theta_{23} \sin^2 \left( \frac{1.27 \Delta m_{23}^2}{E(\text{GeV})} L(\text{km}) \right)$$
- これまでの上限値はCHOOZ実験による  
 $\sin^2 2\theta_{13} < 0.15$  (90% C.L.)



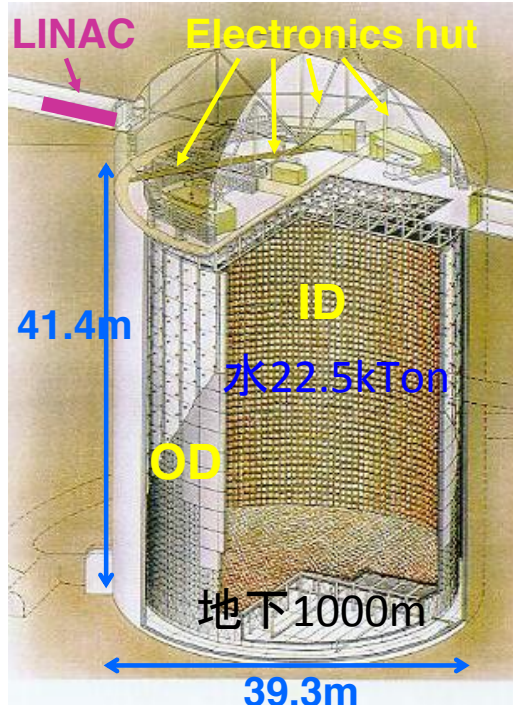
# 2011年の $\theta_{13}$ 観測結果

## 2011年 $\theta_{13}$ 観測の経過報告

- 2011年6月15日 T2K が ve出現の兆候発表
  - $0.03 < \sin^2 2\theta_{13} < 0.28$  (90% C.L.)
  - 99.3%で $\theta_{13} \neq 0$
- 2011年6月29日 MINOS
  - $\sin^2 2\theta_{13} < 0.12$  (90% C.L.)
  - 89%で $\theta_{13} \neq 0$
- 2011年11月9日 DOUBLE CHOOZ
  - 93%で $\theta_{13} \neq 0$
- 有限の振動確率はT2K実験が今の段階で最も強く示唆

# T2K SKでのニュートリノ事象

Super-Kamiokande



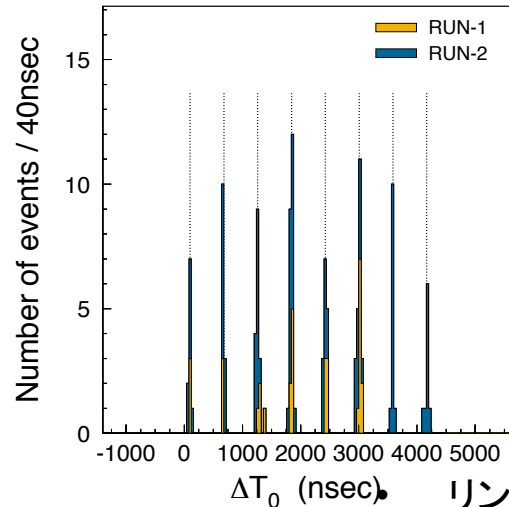
後置検出器

295km

前置検出器

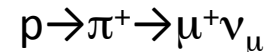
Off-axis 2.5°

ビームに同期した  
SKでの観測数

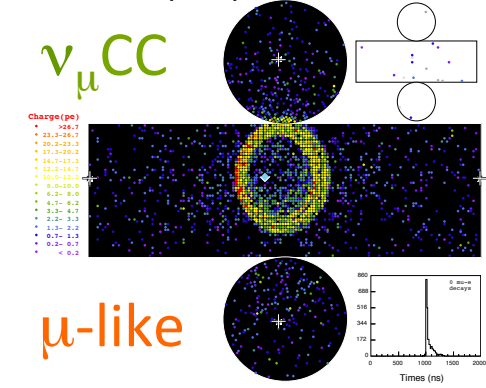
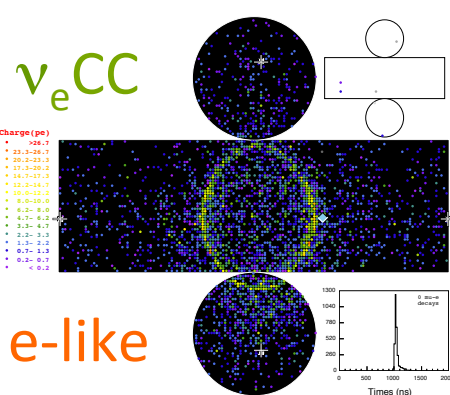


← 8バンチの  
ビーム構造

- T2Kと同時に大気ニュートリノデータも常時取得
- GPS時間同期でT2Kデータを選出

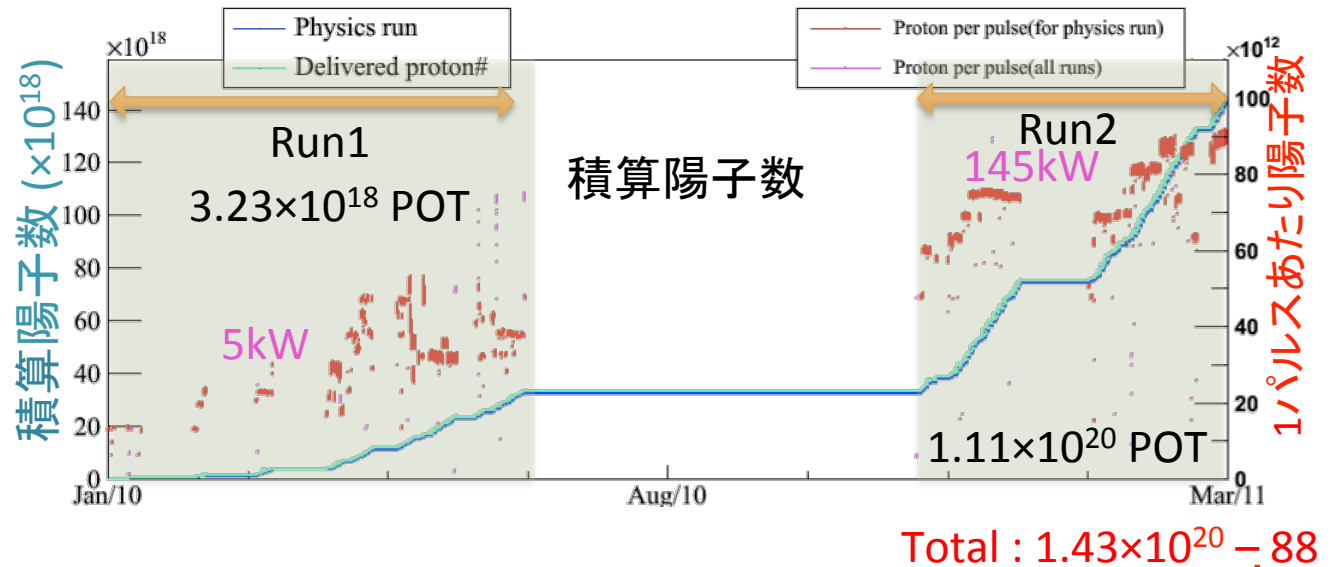


- 20inch-PMT 約11000本で チェレンコフリング検出
- 光量・粒子識別・リング数でイベント再構築
- 99%で粒子識別



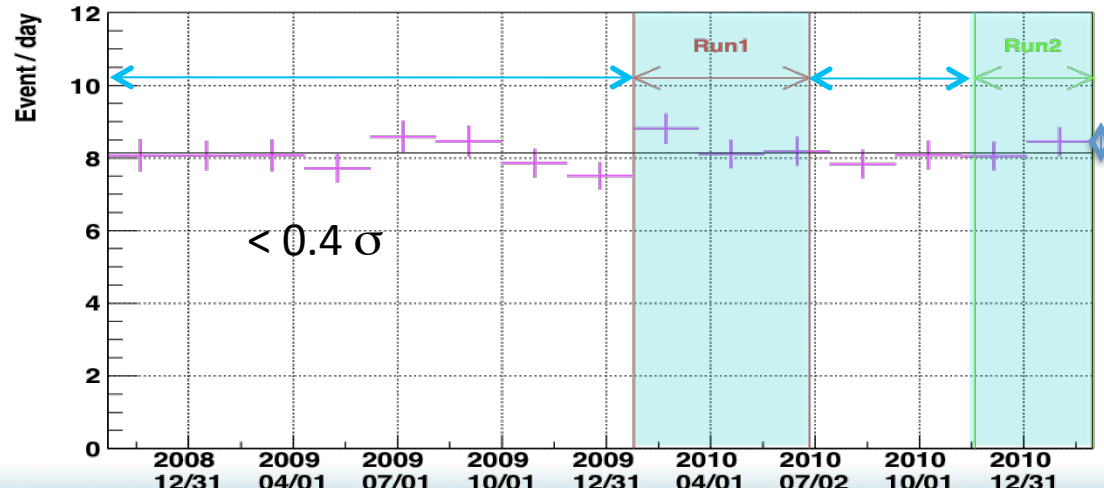
# データ取得安定性

- J-PARC側

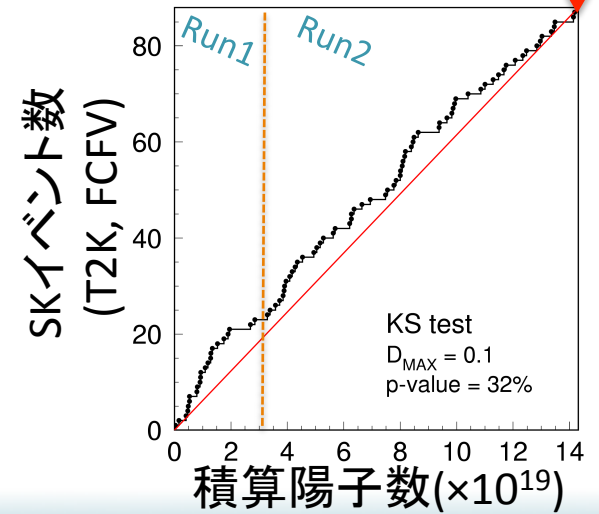


- Super-K側

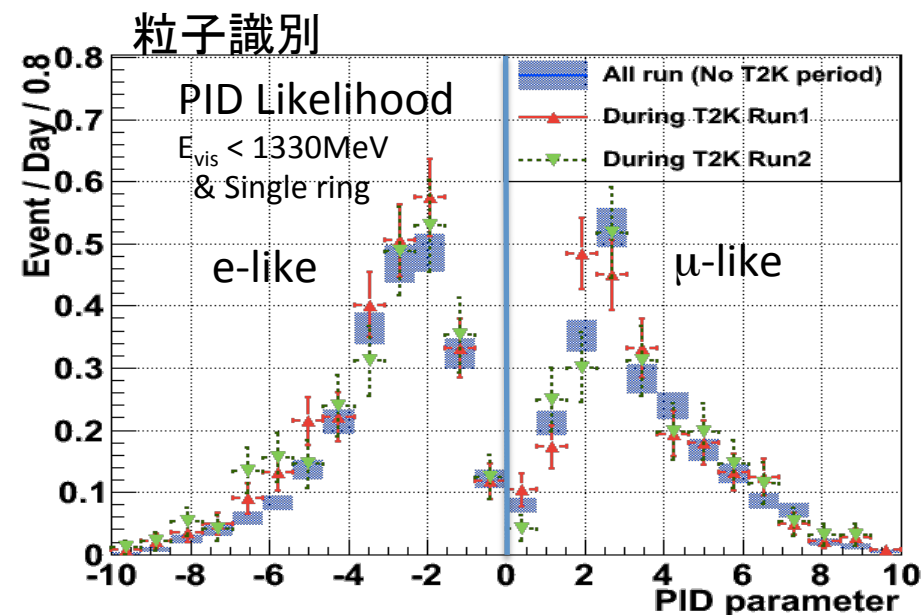
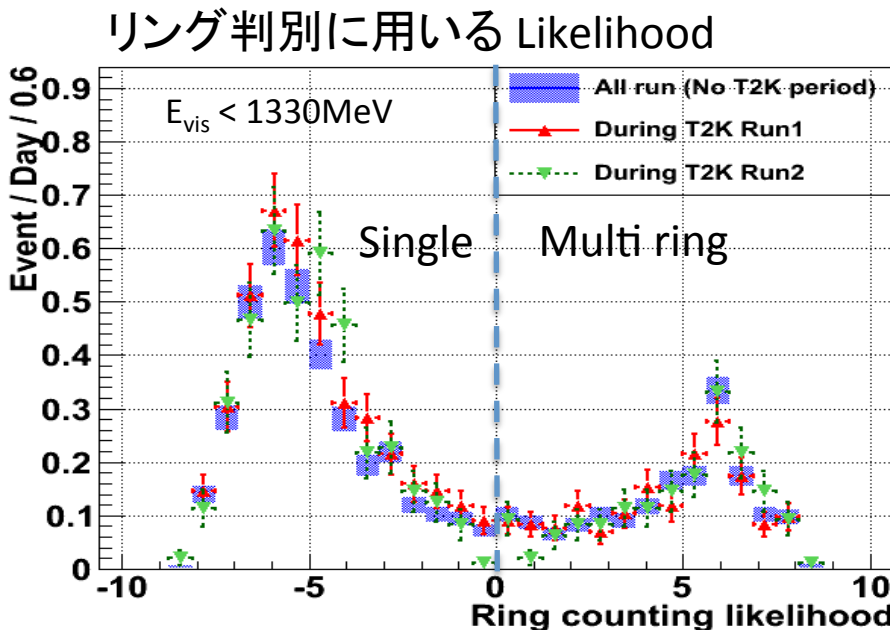
T2Kと並行取得されている  
大気ニュートリノデータで見たSK安定性



T2Kイベントで見たSK安定性



- 大気ニュートリノデータで性能・安定性を実証
  - T2Kデータと並行してSKで常時取得される独立したデータ



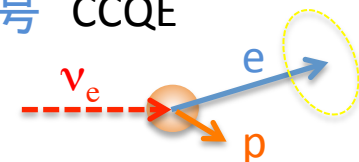
$\nu_\mu \rightarrow \nu_e$  信号事象

- $\nu_e$  の荷電カレント(CC)準弾性(QE)散乱

- $\nu_e + n \rightarrow e + p$
- ▶ 単一電子生成

単リング  
& e 識別

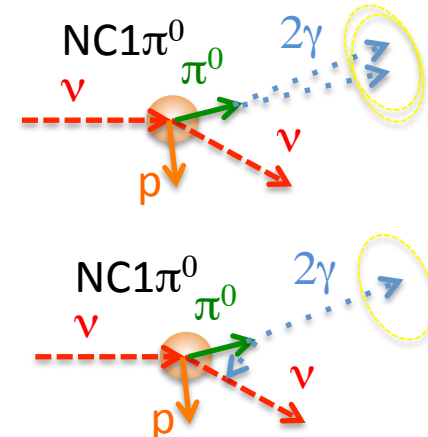
信号 CCQE



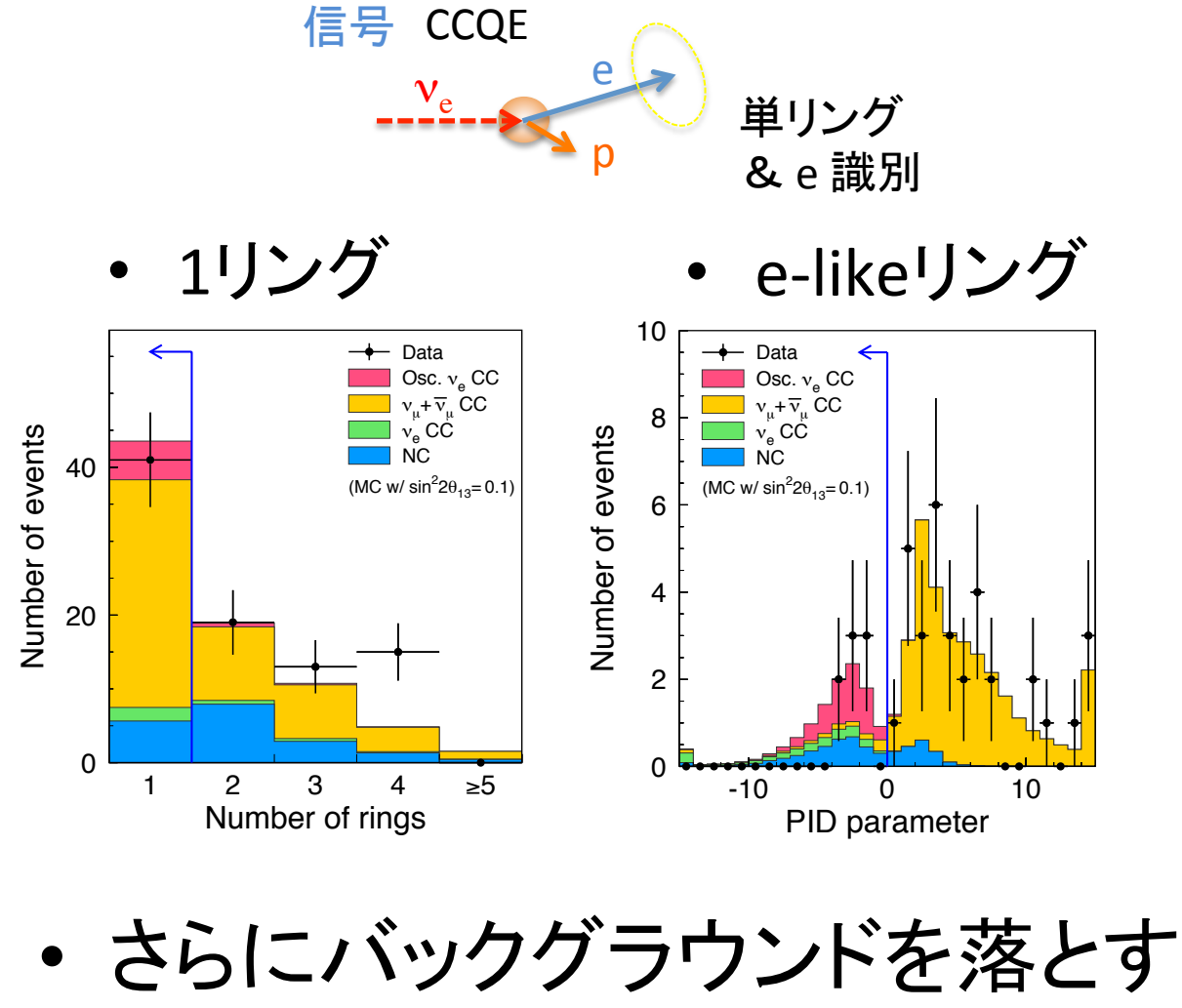
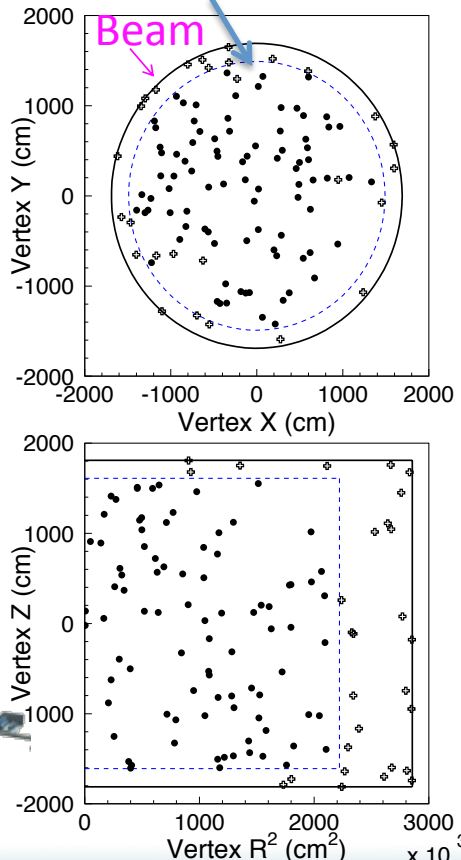
バックグラウンド

- ビーム中の微量  $\nu_e$ 
  - $\mu^+ \rightarrow e^+ + \nu_\mu + \nu_e$
- $\nu_\mu$  の中性カレント(NC) 単一 $\pi^0$ 生成
  - $\nu_\mu + n(p) \rightarrow \nu_\mu + n(p) + \pi^0$ 
    - ▶  $2\gamma$  のペイルアップ
    - ▶  $\gamma$  の1つだけが見えた場合
- Super-Kで单リング & e-like事象を探す

Background

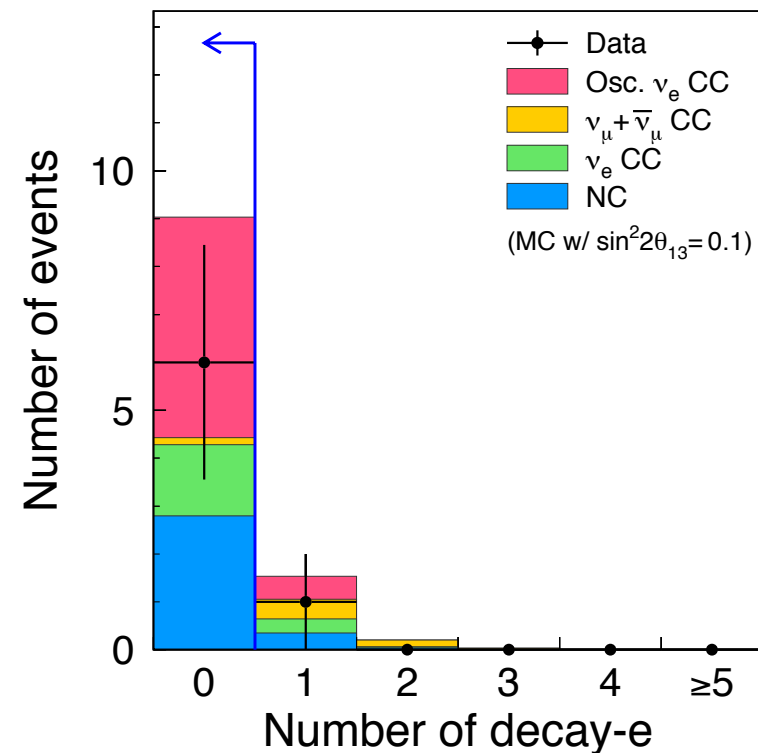
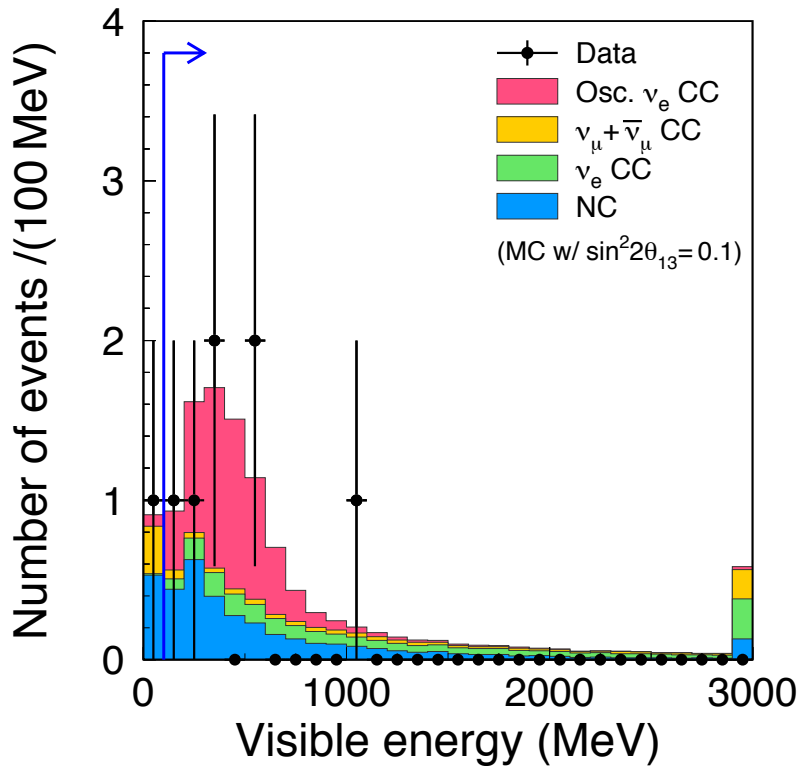


- SK内で $\nu_e$ 起源の事象を効率良く集めるカット
- FV: 壁から  
2m以上離れた事象



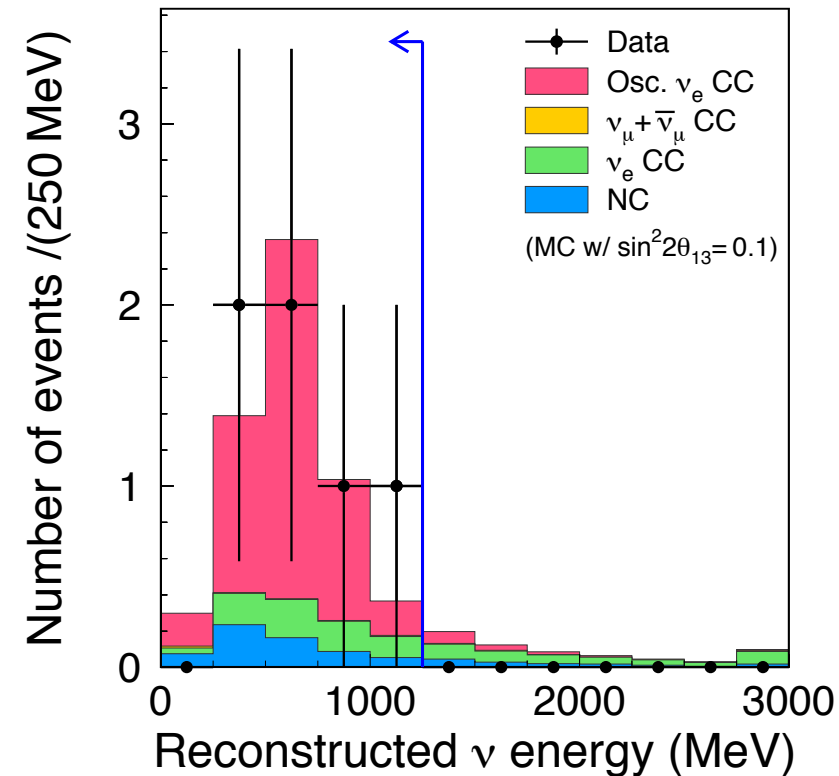
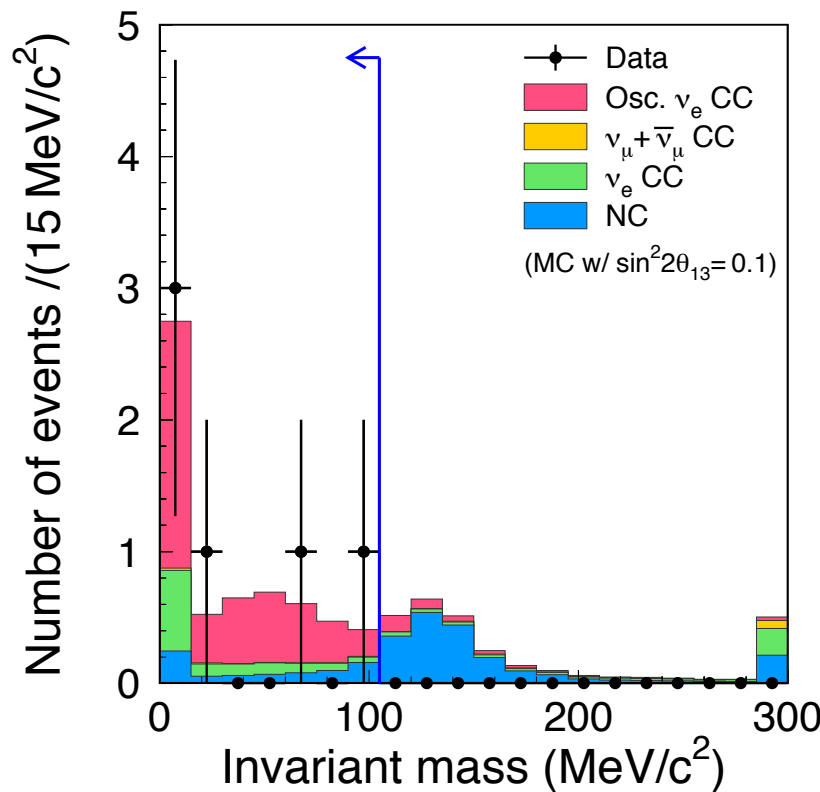
# $\nu_e$ 事象候補の選別

- Visible energy > 100MeV
  - 光量から求めたエネルギー
- NC事象、 $\mu$ 崩壊を排除
- 二次生成の崩壊  $e(\mu \rightarrow e\nu\nu\text{等}) = 0$ 
  - $e$ 出現までの時間差ピークから
  - リングが見えない(チエレンコフ閾値以下の) $\pi$ や $\mu$ を排除



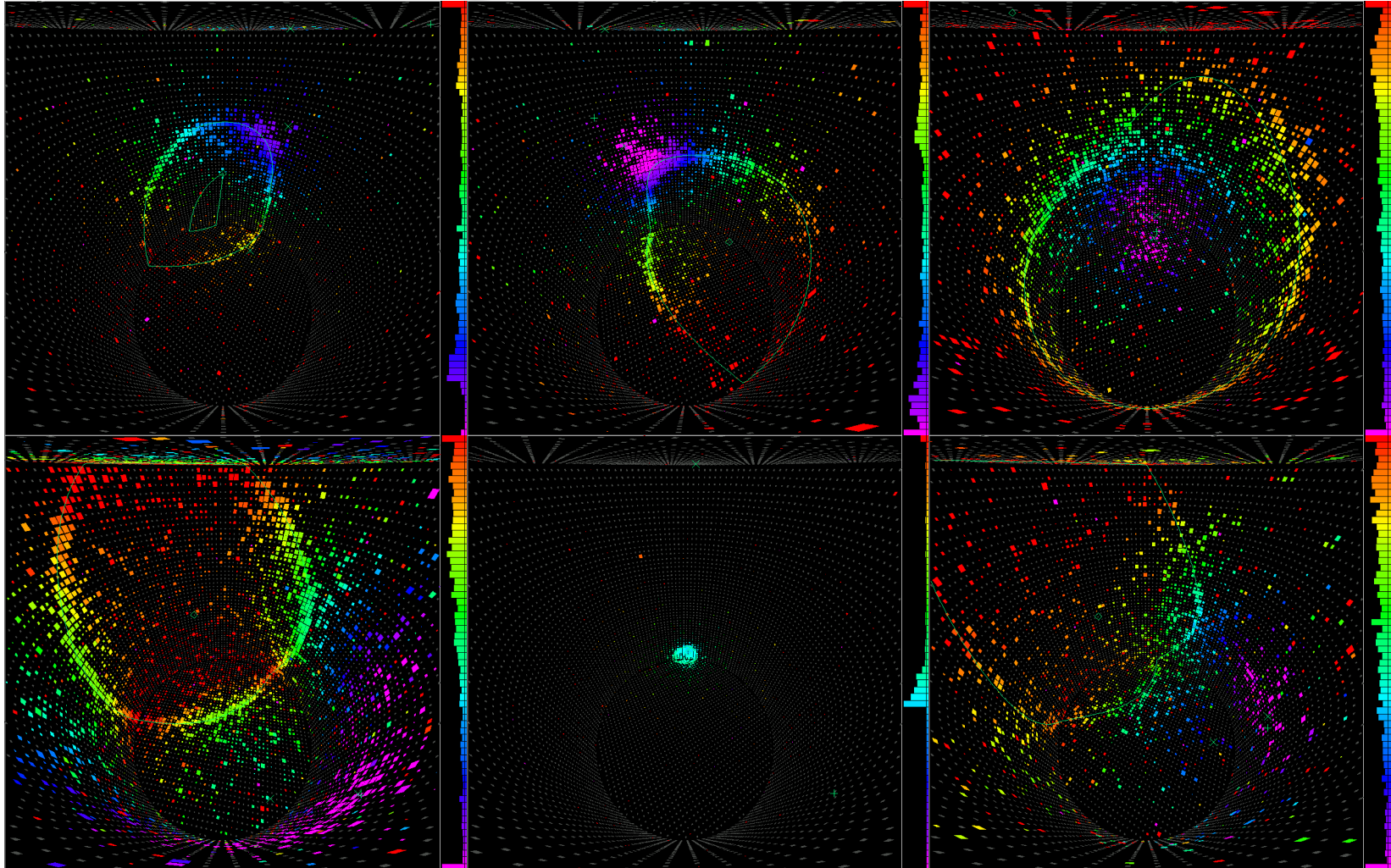
# $\nu_e$ 事象候補の選別

- 不変質量 $<105\text{MeV}/c^2$ 
  - $2\nu$ を仮定した再構築
- NC  $\pi^0$ バックグラウンドを排除
- エネルギー  $E\nu < 1250\text{MeV}$ 
  - CC QE散乱を仮定し再構築
- ビーム中  $\nu_e$ (K崩壊から)の高エネルギーバックグラウンドを排除



$\nu_e$ 候補事象

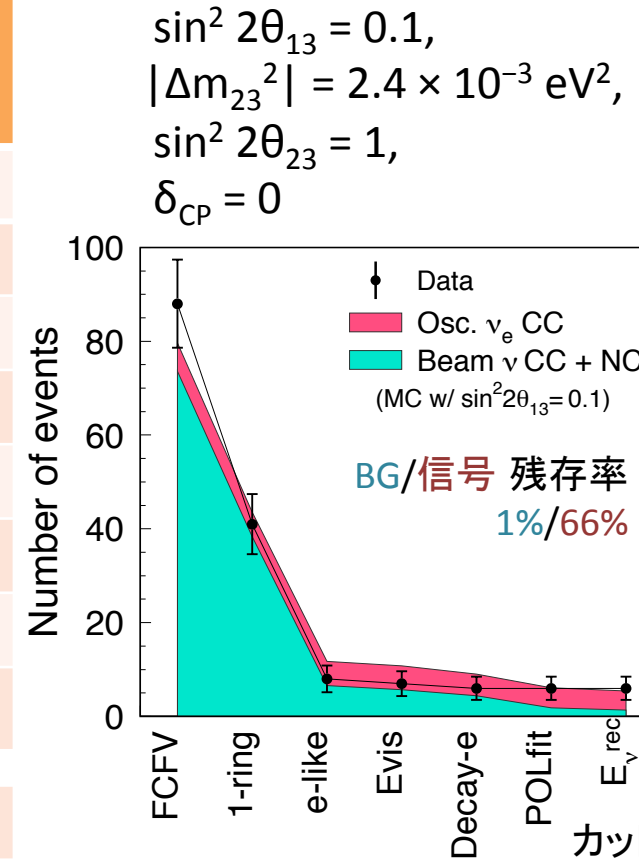
Super-K内で観測された  
 $\nu_e$ 起因らしい  
チエレシコプリング光量分布



- Super-Kで  $\nu_\mu \rightarrow \nu_e$  候補を 6 事象観測

# 事象選別ごとの期待値

カット／期待値 ( $\sin^2 2\theta_{13} = 0.1$ )	Data	MCバックグラウンド期待値				$\nu_\mu \rightarrow \nu_e$ 期待値
		Total	$\nu_\mu$ CC	$\nu_e$ CC	NC	
Interaction in FV	-	<b>141.3</b>	67.2	3.1	71.0	6.2
FC FV	<b>88</b>	<b>73.6</b>	52.4	2.9	18.3	6.0
Single-ring	<b>41</b>	<b>38.3</b>	30.8	1.8	5.7	5.2
e-like	<b>8</b>	<b>6.6</b>	1.0	1.8	3.7	5.2
$E_{\text{vis}} > 100$ MeV	<b>7</b>	<b>5.7</b>	0.7	1.8	3.2	5.1
No decay-e	<b>6</b>	<b>4.4</b>	0.1	1.5	2.8	4.6
$M_{\text{inv}} < 105$ MeV/c <sup>2</sup>	<b>6</b>	<b>1.9</b>	0.04	1.1	0.8	4.2
$E_\nu^{\text{rec}} < 1250$ MeV	<b>6</b>	<b>1.3</b>	0.03	0.7	0.6	4.1
残存率	-	<b>1 %</b>	<0.1 %	23 %	1 %	66 %



↑振動ありの場合 ( $\sin^2 2\theta_{13} = 0.1$ )  $5.4 \pm 1.0$ (syst.)イベント  
 ↓振動なしの場合 ( $\sin^2 2\theta_{13} = 0$ )  $1.5 \pm 0.3$ (syst.)イベント

観測数 6

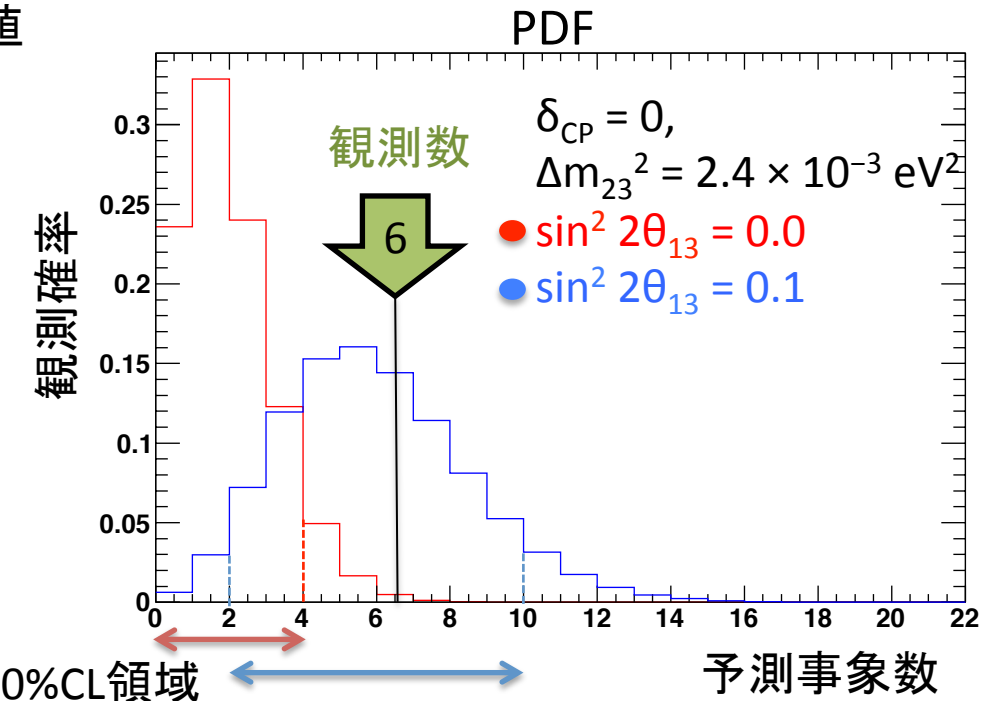
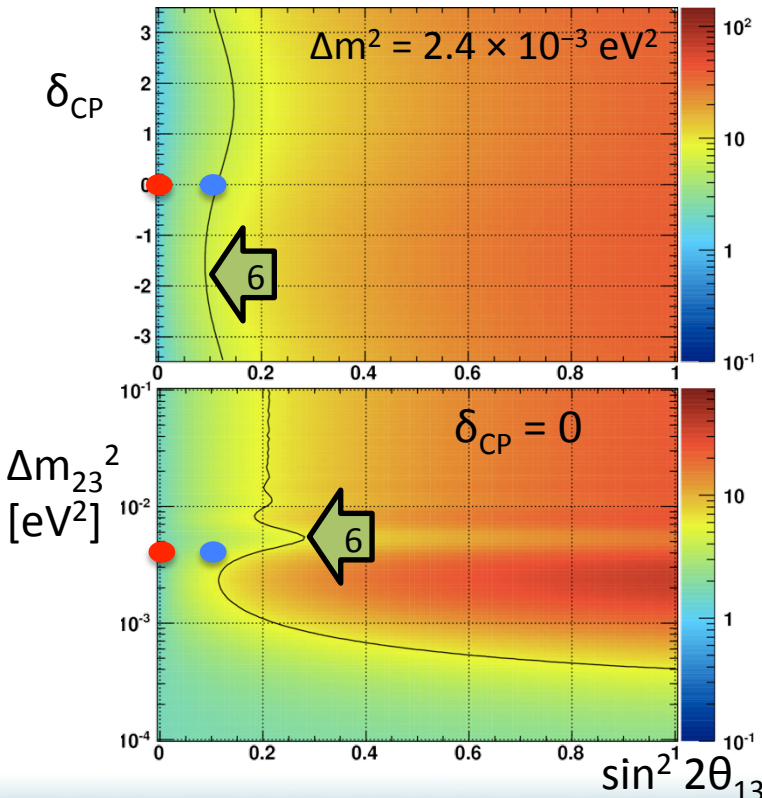
BG ( $\sin^2 2\theta_{13} = 0$ ) **1.4** 0.03 0.8 0.6 0.09

# 事象数90%信頼度(CL)範囲

Toy MC

- PDF : ある振動パラメータで、全T2K系統誤差を考慮した  $\nu_e$  観測事象数(信号+BG)の確率密度分布(PDF)を構築
- Feldman-Cousins手法 : PDF の 90% C.L. 領域を決定

各振動パラメータでの観測事象数期待値



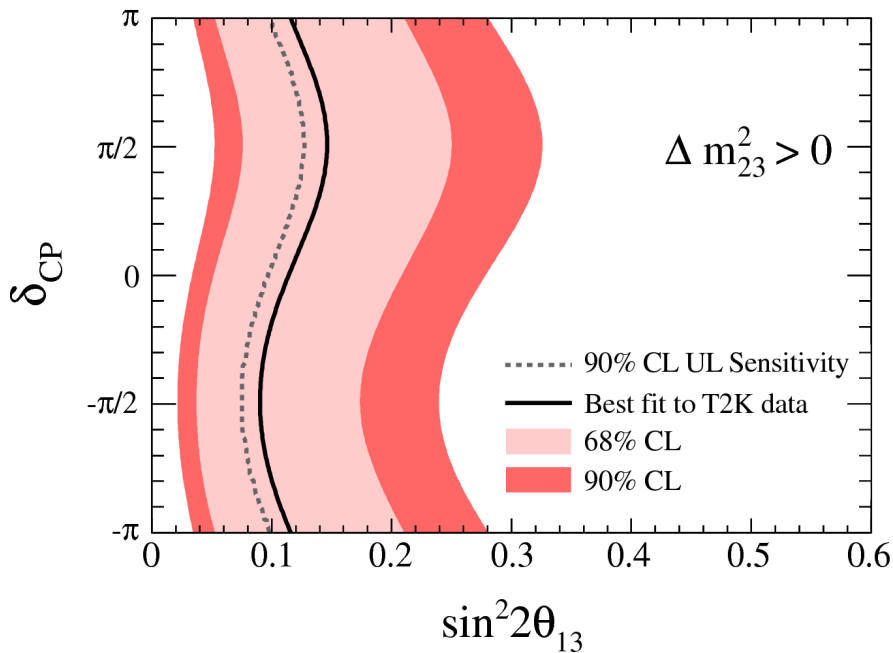
Toy MCにより6事象が90%領域に収まる  
振動パラメータ領域を決定

# $\theta_{13}$ 測定結果 (90%CL)

- 3種のニュートリノ質量順によって2つの解

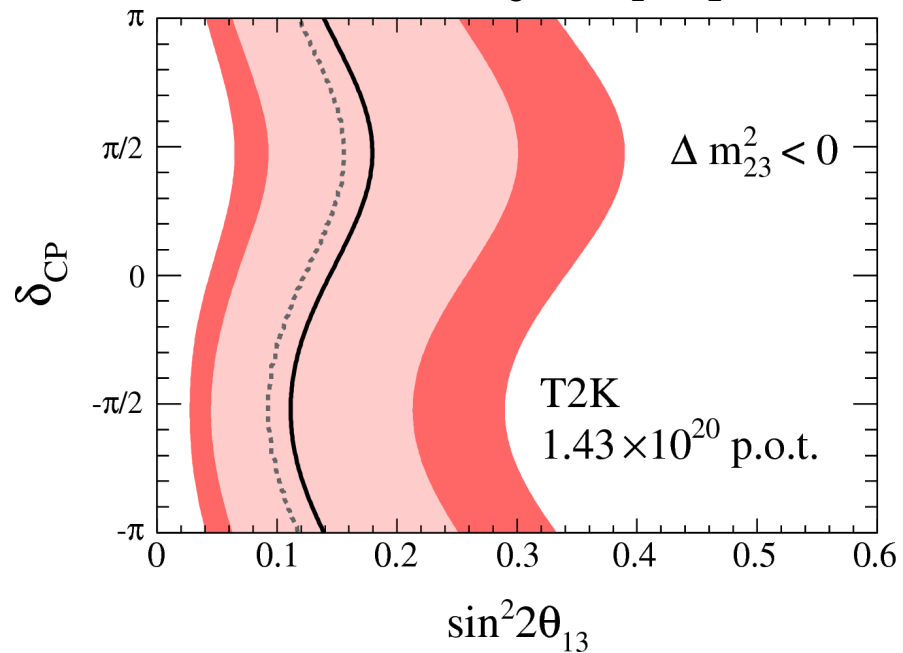
$$|\Delta m_{23}^2| = 2.4 \times 10^{-3} \text{ eV}^2, \\ \sin^2 2\theta_{23} = 1$$

正常階層( $m_3 >> m_1, m_2$ )



$$\sin^2 2\theta_{13} = 0.11 \\ 0.03 < \sin^2 2\theta_{13} < 0.28$$

逆階層( $m_3 << m_1, m_2$ )

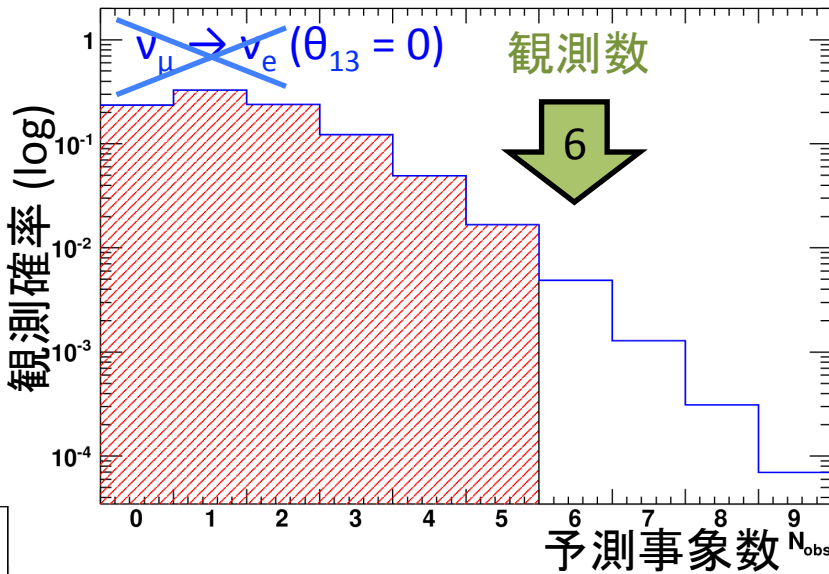
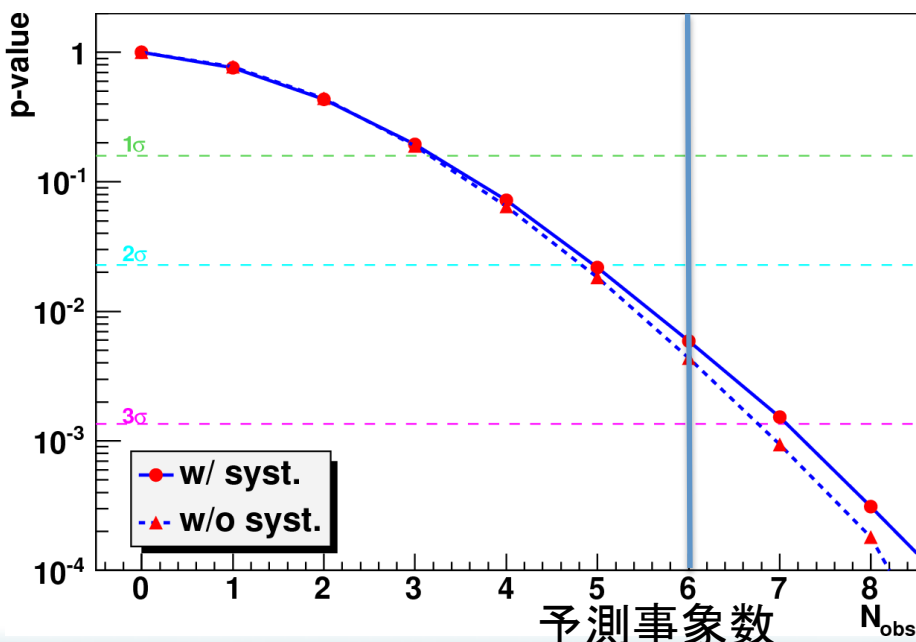


$$\sin^2 2\theta_{13} = 0.14 \\ 0.04 < \sin^2 2\theta_{13} < 0.34$$

# $\theta_{13}$ の有意性

- $\theta_{13}$ 振動無し予測事象数分布からの観測数=6の有意性

$$\begin{aligned}\sin^2 2\theta_{13} &= 0, \\ |\Delta m_{23}^2| &= 2.4 \times 10^{-3} \text{ eV}^2, \\ \sin^2 2\theta_{23} &= 1, \\ \delta_{CP} &= 0\end{aligned}$$



- 99.4%, 2.5 $\sigma$ で  $\theta_{13}$ はnon-zero
- 観測された6事象は  $\nu_\mu \rightarrow \nu_e$  の兆候

- 2011年3月11日から震災を受け停止
- 2011年中にJ-PARCの復旧作業がほぼ終了



- 2011年末にビーム再開・試験ラン
- 2012年3月からラン再開予定
- 系統誤差・振動解析の見直し・改善を進行中

# まとめ

- T2KのRUN-1(Jan. '10 – June '10)+RUN-2(Nov. '10 – Mar. '11)= $1.43 \times 10^{20}$ POTからの結果を報告
- $\nu_e$ 出現事象の候補を6事象観測した
  - $\theta_{13}$ 振動なしの期待値は1.5事象
- 目標の2%量データにより、 $2.5\sigma$ で $\theta_{13} > 0$ を示唆
  - 統計量が感度を抑えている
- 3月からデータ取得を本格的に再開
- 新たなデータ、系統誤差の改善、 $\nu$ 振動解析の改良により、 $\nu_\mu \rightarrow \nu_e$ 振動発見を目指す